

АНАЛИЗ ДИНАМИКИ ИМПУЛЬСНЫХ СИСТЕМ ФАЗОВОЙ СИНХРОНИЗАЦИИ В РЕЖИМЕ КРАТНЫХ ЗАХВАТОВ

Инж. ШИЛИНА А. Л.

Минский институт управления

В предыдущих статьях [1, 2] были рассмотрены математические модели импульсных систем фазовой синхронизации (ИСФС) и методы анализа данных устройств в аналогичных периодических режимах. Эти исследования основывались на оценке NT-периодических режимов и режимов кратных захватов как паразитных, т. е. подлежащих исключению. Однако известны случаи эксплуатации ИСФС на кратных частотах. Такое применение данных систем оправдано при работе на высоких частотах, поскольку исчезает необходимость в проектировании сложного и дорогостоящего делителя с переменным коэффициентом деления, устанавливаемого в цепь обратной связи.

Структурная схема такого ИСФС приведена на рис. 1, а временные диаграммы его работы – на рис. 2, где ГОС – генератор опорного сигнала $y(t)$; ИФД – импульсно-фазовый детектор, вырабатывающий сигнал рассогласования $\varepsilon(t)$; ФНЧ – фильтр нижних частот; УГ – управляемый генератор; $g(t)$ – неуправляемая составляющая частоты УГ; НЛЧ – непрерывная линейная часть. Отметим, что синхронизация устройства производится на частотах, кратных входной, причем коэффициент кратности, а значит, и положение рабочей точки на периодической нелинейной характеристике ИФД задаются либо внешними устройствами, либо выбором параметров самого ИСФС.

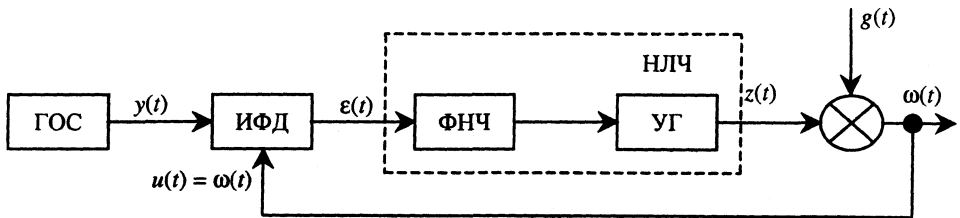


Рис. 1. Структурная схема ИСФС

Построим математическую модель данного устройства с ИФД типа «выборка-запоминание».

ФНЧ такого устройства описывается уравнением

$$W(p) = \frac{Q(p)}{M(p)} = \frac{\prod_{i=m+1}^{m+r} (T_i p + 1)}{\prod_{i=1}^m (T_i p + 1)}, \quad (1)$$

где T_i – постоянная времени числителя ($i = \overline{m+1, m+r}$) и знаменателя ($i = \overline{1, m}$), $r \leq m$.

Уравнения состояния НЛЧ с передаточной функцией (1) имеют вид:

$$\dot{X}(t) = AX(t) + B\varepsilon(t); \quad (2)$$

$$e(t) = CX(t) + d_0\varepsilon(t), \quad (3)$$

где $X(t)$ – вектор переменных состояния; A – матрица $m \times m$, векторы $B, C \in R^m$, $d_0 = \text{const}$, определяемые передаточной функцией $W(p)$ [3].

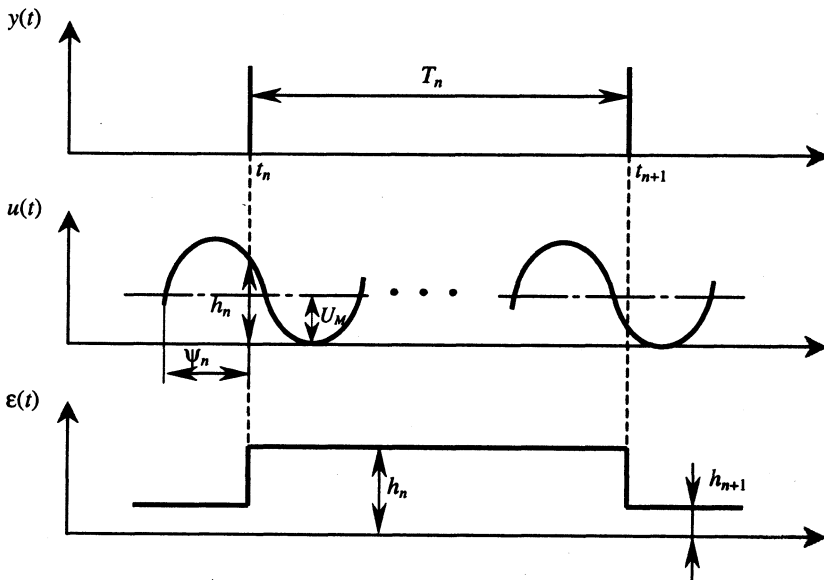


Рис. 2. Временные диаграммы работы ИСФС в режиме кратного захвата

Вектор состояния $X(t)$ на интервале $[t_n; t_{n+1}]$ имеет вид

$$X(t) = \Phi(t-t_n)X(t_n) + \int_{t_n}^t \Phi(t-\lambda)Bh_n d\lambda. \quad (4)$$

Положив в (4) $t = t_{n+1}$ и выполнив операцию интегрирования, получим разностное уравнение разомкнутой системы

$$X_{n+1} = \Phi(T_n)X_n + A^{-1}(\Phi(T_n)-1)Bh_n, \quad (5)$$

где $X_n = X(t_n)$.

Набег фазы выходного сигнала $\omega(t)$ на интервале $[t_n; t_{n+1}]$ с учетом соотношения

$$\varphi_n = \frac{1}{N_{Д}} \int_{nT+\tau_n}^{nT+kT} \omega(t) dt$$

и (4) вычисляется следующим образом:

$$\varphi_n = \int_{t_n}^{t_{n+1}} \omega(t) dt = KCA^{-1}(\Phi(T_n) - 1)(X_n + A^{-1}Bh_n) + (Kh_n + g_n)T_n, \quad (6)$$

где K – коэффициент усиления НЛЧ.

Сдвиг фазы

$$\Psi_{n+1} = \Psi_n + \varphi_n - 2\pi j, \quad (7)$$

где j – отношение выходной частоты к входной в установившемся режиме.

Уравнение импульсного модулятора имеет вид

$$h_{n+1} = U_M (\sin \Psi_{n+1} + 1), \quad (8)$$

где U_M – амплитуда колебаний на выходе УГ; h_{n+1} – напряжение на выходе ИФД на интервале $[t_{n+1}; t_{n+2}]$. Подставив в (8) (6) и (7), получим уравнение замкнутой системы

$$h_{n+1} = U_M \sin(\arcsin((h_n / U_M) - 1) + KCA^{-1}(\Phi(T_n) - 1) \times \\ \times (X_n + ABh_n) + (Kh_n + g_n)T_n - 2\pi j) + U_M. \quad (9)$$

Уравнения (5), (8) и (9) образуют математическую модель рассматриваемого устройства. Полученную модель представим в следующей форме:

$$h_n = U_M (\sin \Psi_n + 1); \quad (10)$$

$$X_n = \Phi(T_n)X_n + A^{-1}(\Phi(T_n) - 1)BU_M (\sin \Psi_n + 1); \quad (11)$$

$$\Psi_{n+1} = \Psi_n + KCA^{-1}(\Phi(T_n) - 1)(X_n + A^{-1}BU_M (\sin \Psi_n + 1)) + \\ + (KU_M (\sin \Psi_n + 1) + g_n)T_n - 2\pi j. \quad (12)$$

Координаты установившегося режима получаем из (11) и (12), положив $T_n = T_{n+1} = T^* = \text{const}$; $\Psi_n = \Psi_{n+1} = \Psi^* = \text{const}$; $X_n = X_{n+1} = X^* = \text{const}$; $g_n = g_{n+1} = G = \text{const}$;

$$h^* = \frac{2\pi j}{KT^*} - \frac{G}{K}; \quad (13)$$

$$\Psi^* = \arcsin\left(\frac{2\pi j}{KT^*U_M} - \frac{G}{KU_M} - 1\right); \quad (14)$$

$$X^* = -A^{-1}Bh^* = -A^{-1}BU_M(\sin\Psi^* - 1). \quad (15)$$

Таким образом, методика моделирования переходного процесса исследуемой ИСФС может быть представлена в следующем виде:

- 1). Расчет начальных условий по (13)...(15).
- 2). Расчет X_{n+1} по (11).
- 3). Расчет Ψ_{n+1} по (12).
- 4). Расчет h_{n+1} по (8).
- 5). Расчет ω_{n+1} по (5).

Проверка сходимости процесса. Если процесс сходится, то переход к шагу 7.

$$6). X_n = X_{n+1}; \Psi_n = \Psi_{n+1}; h_n = h_{n+1}; \omega_n = \omega_{n+1}.$$

Переход к шагу 2.

7). Конец.

В соответствии с данной методикой разработана программа моделирования переходного процесса в исследуемой ИСФС. На рис. 3 представлены результаты моделирования ИСФС с передаточной функцией ФНЧ вида:

$$W(p) = \frac{(3,0 \cdot 10^{-5} p + 1)}{(4 \cdot 10^{-4} p + 1)(5 \cdot 10^{-6} p + 1)}$$

и следующими параметрами:

- частота сигнала ГОС $\gamma = 1,707^8$ Гц;
- коэффициент усиления НЛЧ $K = 2,7 \cdot 10^5$;
- амплитуда ИФД $h = 2,8$ В.

Переходный процесс в системе получен при переключении ГОС с частоты $\gamma = 0,825^8$ Гц на частоту $\gamma = 1,707^8$ Гц.

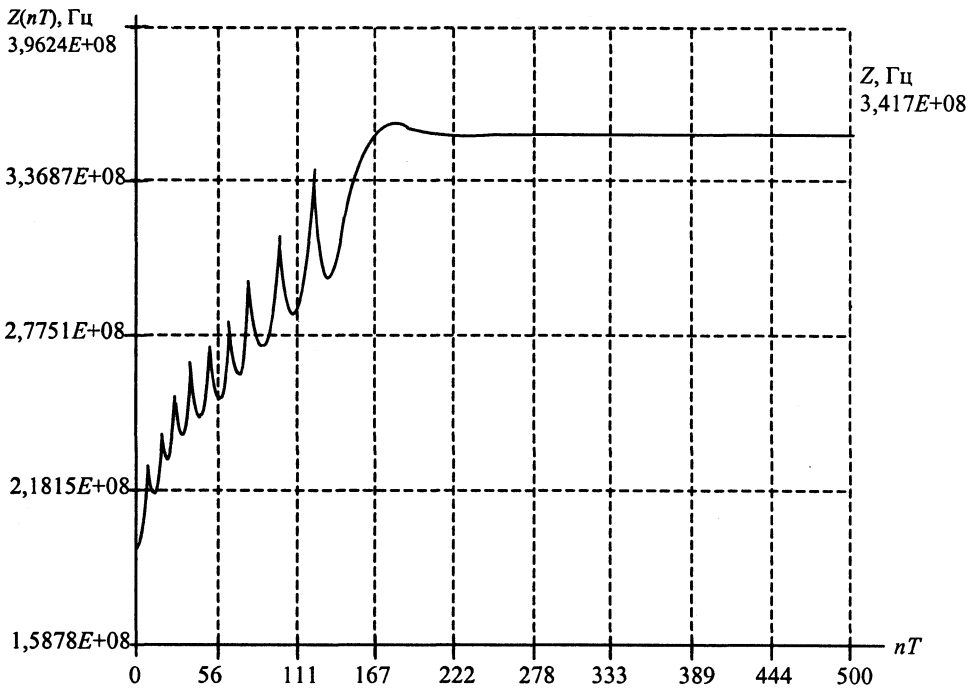


Рис. 3. Переходный процесс в ИСФС с ИФД типа «выборка-запоминание»

ЛИТЕРАТУРА

1. Кузнецов В. П., Шилин Л. Ю., Шилина А. Л. Построение областей кратных захватов ИСФС // Энергетика... (Изв. высш. учеб. заведений и энерг. объединений СНГ). – 2002. – № 2. – С. 38–44.

2. Шилина А. Л. Построение областей NT-периодических режимов импульсных систем фазовой синхронизации // Энергетика... (Изв. высш. учеб. заведений и энерг. объединений СНГ). – 2002. – № 5. – С. 43–48.

3. Кузнецов А. П., Батура М. П., Шилин Л. Ю. Анализ и параметрический синтез импульсных систем с фазовым управлением. – Мн.: Навука і тэхніка, 1993.

Представлена кафедрой
математики и информатики

Поступила 12.12.2002

УДК 621.791

ИСПОЛЬЗОВАНИЕ СИЛОМОМЕНТНЫХ ДАТЧИКОВ В СИСТЕМАХ УПРАВЛЕНИЯ МАНИПУЛЯТОРАМИ

ЩЕРБАК И. Н.

Белорусский государственный университет

При движении манипулятора в таких операциях, как захват предмета, штабелирование деталей, механообработочных, контрольно-измерительных и других, можно выделить транспортные и рабочие перемещения.